doi:10.6041/j.issn.1000-1298.2016.05.053

# Buck 型功率变换器无抖振滑模控制器设计

马 莉 王常青 丁世宏 赵德安 (江苏大学电气信息工程学院,镇江 212013)

摘要:针对传统比例积分微分(PID)控制方法运用于直流 Buck 变换器时,在干扰较大的情况下,很难取得满意的控制效果问题,利用二阶滑模控制技术,提出了一种无抖振的滑模控制方法,以改善大扰动条件下 Buck 变换器的鲁棒性。将占空比变量的导数看作虚拟控制器,设计非连续的二阶滑模控制器;实际控制器则为非连续控制器的积分,从而避免了控制器的抖振。在此基础上,采用 PWM 定频控制方式将该算法运用在 Buck 电路上。通过和 PID 控制算法进行仿真和实验对比,验证了该滑模控制器的可靠性与优越性。结果表明:系统启动时间缩短了近 50%;当突变负载和输入电压改变时,系统输出电压变化幅度明显减小。

关键词: Buck 变换器; 二阶滑模控制; 定频控制

中图分类号: TM46; TP273 文献标识码: A 文章编号: 1000-1298(2016)05-0388-07

# Design of Chattering-free Sliding Mode Controller for Buck Converters

Ma Li Wang Changqing Ding Shihong Zhao Dean
(School of Electrical and Information Engineering, Jiangsu University, Zhenjiang 212013, China)

Abstract: Under the traditional proportional integral differential (PID) controllers, it is usually not easy to obtain a satisfactory control performance for Buck converters subject to large disturbances. Aiming at this problem, a chattering-free control method based on the second order sliding mode control was proposed to improve the robustness of the Buck converters. Firstly, the average state-space model of Buck converter was established and the design of the chattering-free sliding mode controller was associated with controlling the output voltage of the Buck converter by selecting an appropriate sliding mode surface. The control design was accomplished by designing a discontinuous second order sliding mode controller where the derivative of the duty ratio was regarded as a virtual controller. The actual controller was the integration of the discontinuous second-order sliding mode controller, and thus the chattering problem can be avoided. On this basis, taking a direct discretization on the proposed algorithm by using Euler method, the chattering-free sliding mode controller can be implemented by the way of fixed-frequency PWM control technique based on a LabVIEW platform. Finally, the reliability and superiority of the chattering-free sliding mode controller were verified by comparing PID controller through simulation and experimentation. It can be shown that: the system startup time can be shortened by nearly 50%; the variation range of system output voltage is significantly reduced under the conditions of load perturbation and input voltage change.

Key words: Buck converter; second order sliding mode control; fixed-frequency control

收稿日期: 2015-10-11 修回日期: 2015-12-23

基金项目: 国家自然科学基金项目(61203054、61573170、31571571)、中国博士后科学基金项目(2015M571687)、江苏省高校优势学科建设工程项目(苏政办发[2011]6号)和复杂工程系统测量与控制教育部重点实验室开放基金项目(MCCSE2014A01)

作者简介:马莉(1982—),女,副教授,主要从事随机系统理论、开关电源研究,E-mail: mali@ mail. ujs. edu. cn

通信作者: 丁世宏(1983—), 男, 副教授, 博士生导师, 主要从事非线性系统控制、DC - DC 变换器研究, E-mail: dsh@ mail. ujs. edu. cn

# 引言

近年来,Buck型功率变换器被广泛运用到各类 直流降压场合,如电动汽车、LED 照明技术[1]、直流 电机[2]、新能源发电[3]、工业仪器仪表和军事航天 等领域。PID 控制方法由于控制简单、易于掌握等 优点常被用于各种电路的控制中。但 PID 控制系统 参数往往需要大量的实验及寻优才能找出参考值。 功率变换器内部具有复杂性和时变性,同时存在较 大外部干扰,这对动态响应速度和控制精度等提出 了更高要求。文献[4]通过建立 Buck 变换器系统 稳定性与 PID 参数之间的函数关系, 采用遗传算法 进行参数优化,改善了系统的控制效果,但是需要以 建立精确的数学模型为基础,难以在实际工程中实 现。文献[5]首先建立了分数阶降压变换器的数学 模型,然后利用自身优化算法应用于分数阶 PID 控 制器的设计,提高了直流变换器系统的稳定性,但该 方法没有考虑一些非线性因素的影响。

功率变换器输入电压突增突降、负载突变等大扰动情况下,传统 PID 控制方法难以满足实际控制需求。为了改善系统的控制性能,各种非线性控制算法已经在功率变换器控制中得以应用。这些新算法主要包括模糊控制<sup>[6-7]</sup>、神经网络控制<sup>[8-9]</sup>、自适应控制<sup>[10-11]</sup> 以及滑模控制<sup>[12-13]</sup> 等。例如,文献[14]运用自适应控制,通过在线辨识并调整控制器参数,降低了闭环系统的稳态误差,改善了系统的动态性能。文献[15]基于模糊逻辑控制技术设计了模糊控制器,使系统能很好地适应非线性因素引起的扰动情况。

滑模控制器可以使得闭环系统具有鲁棒性强、 收敛速度快等优点,因而在功率变换器的控制设计 中被广泛采用。文献[16]提出了一种自适应终端 滑模控制策略,提高了系统跟踪控制的速度和精度, 理论上可以使得误差在有限时间内收敛到零。文 献[17]通过分析滑动模态区与滑模系数和 Buck 变 换器电路参数的关系,结合功率变换器的瞬态电压 变化范围,提出一种滑模系数的设计方法。普通滑 模控制具有较好的鲁棒性,但控制器的非连续性导 致系统产生抖振,使输出信号的跟踪效果受到影响, 甚至会影响系统的稳定性。另外,切换频率过高也 使控制器难以实现。二阶滑模控制技术作为普通滑 模控制的推广,除了可以获得良好的鲁棒性和瞬态 特性,还能够消除传统滑模控制中广泛存在的抖振 问题。此外,二阶滑模控制算法作为高阶滑模算法 的特殊情形,具有有限时间收敛、设计相对简单等优 点,受到广大学者的关注。目前,二阶滑模控制算法 已经被应用到众多领域,如机器人控制<sup>[18]</sup>、同步电机控制<sup>[19]</sup>等。

基于以上考虑,本文采用二阶滑模控制理论,针对 Buck 变换器控制系统,设计一种无抖振的滑模控制器,以增强系统的鲁棒性,加快系统跟踪性能,并通过仿真和实验进行验证。

# 1 问题描述

Buck 电路基本结构如图 1 所示。

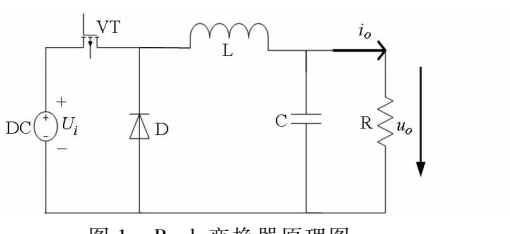


图 1 Buck 变换器原理图

Fig. 1 Principle diagram of Buck converter

图中,DC 为直流电压源,VT 为开关管,D 为二极管,L 为电感器,C 为电容器,R 为负载电阻, $i_o$ 为负载电流, $u_o$ 为负载电压, $U_i$ 为电源电压。

Buck 电路的工作方式可以分为 2 种模式:

(1)当开关管 VT 处于闭合状态时,二极管 D 截止,电容器 C 处于充电状态。根据基尔霍夫电压定律有

$$L\frac{\mathrm{d}i_{\mathrm{L}}}{\mathrm{d}t} = U_{i} - u_{o} \tag{1}$$

式中 L---电感器 L 的电感

i\_——电感电流

(2)当开关管 VT 处于断开状态时,二极管 D 续流,与电容器 C、电感器 L 构成放电回路。此时满足关系

$$L\frac{\mathrm{d}i_{\mathrm{L}}}{\mathrm{d}t} = -u_{o} \tag{2}$$

合并一个周期2种状态(式(1)、(2))可得

$$L\frac{di_{L}}{dt} = \alpha(U_{i} - u_{o}) + (1 - \alpha)(-u_{o}) = U_{i}\alpha - u_{o}$$
(3)

式中  $\alpha$ ——开关管导通时间 t 与周期 T 的比值 同理,根据基尔霍夫电流定律还可以得到

$$C\frac{\mathrm{d}u_o}{\mathrm{d}t} = i_L - \frac{u_o}{R} \tag{4}$$

式中 C---电容器 C 的电容

整理式(3)、(4),结合电容两端电压等于输出 电压得到其状态空间表达式<sup>[20]</sup>

$$\begin{bmatrix} \frac{\mathrm{d}u_{\mathrm{c}}}{\mathrm{d}t} \\ \frac{\mathrm{d}i_{\mathrm{L}}}{L} \end{bmatrix} = \begin{bmatrix} -\frac{1}{CR} & \frac{1}{C} \\ -\frac{1}{L} & 0 \end{bmatrix} \begin{bmatrix} u_{\mathrm{c}} \\ i_{\mathrm{L}} \end{bmatrix} + \begin{bmatrix} 0 \\ U_{i} \\ L \end{bmatrix} \alpha \qquad (5)$$

式中 ис——电容两端电压

Buck 型功率变换器系统(式(5))事实上包含了一些不确定性因素,主要有输入电压的变化、负载的突变等。这些不确定因素会使功率变换器性能恶化,降低了输出信号的动态和稳态品质。

本文控制目标为:在大扰动工况条件下,包括启动、负载突变和输入电压突变等,利用二阶滑模控制理论设计无抖振的滑模控制器,以提高 Buck 变换器的电压跟踪性能。

## 2 控制器设计

## 2.1 二阶滑模分析

考虑非线性控制系统

$$\begin{cases} \dot{x} = f(t, x) + g(t, x) u \\ s = s(t, x) \end{cases}$$
 (6)

式中 x——系统的状态变量, $x \in \mathbf{R}^n$ 

u——系统的控制输入, $u \in \mathbf{R}$ 

s(t,x)——输出函数,称为滑模量

f(t,x)、g(t,x)——不确定光滑函数

假设函数是 s(t,x) 有 r 阶导数,则由式(6)定义的集合

$$s(t,x) = \dot{s}(t,x) \cdots = s^{r-1}(t,x) = 0$$
 (7)

称为在 Filippov 意义局部可积条件下的 r 阶滑模集,系统满足式(7)的相关运动则称为 r 阶滑模。因此,假设滑动变量具有相对阶 2,通过非连续二阶滑模控制器 u,使得滑动变量 s、s 在有限时间内达到稳定,保证有 s=s=0,则为二阶滑模控制。一般来说,滑动变量 s 的二阶导数显含控制输入信号 u,且满足

$$\ddot{s} = a(t,x) + b(t,x)u \tag{8}$$

式中, $a(t,x) = \ddot{s}|_{u=0}$ 、 $b(t,x) = \partial \ddot{s}/\partial u$  为不确定项。

一般情况下,不确定项满足如下假设:存在非负常数 $\bar{a}>0$ 和b>0,使得条件

$$\begin{cases} |a(t,x)| \leq \overline{a} \\ b(t,x) \geq b \end{cases} \tag{9}$$

成立。

在上述假设前提下,定义

$$\begin{cases} \gamma_1 = 1 \\ \gamma_2 = \gamma_1 + \tau \\ \gamma_3 = \gamma_2 + \tau \end{cases}$$
 (10)

式中 $\tau$ 属于区间(-1/2,0)的有理数, $\tau = \frac{-\tau_1}{\tau_2}$ ,且  $\tau_1$  是偶数, $\tau_2$  是奇数,则有:

引理<sup>[21]</sup>:针对非线性控制系统式(6),若二阶滑模控制器设计为

$$u = -\beta_{2} \left[ \sigma \left( \dot{s}^{\frac{1}{\gamma_{2}}} + \beta_{1}^{\frac{1}{\gamma_{2}}} \sigma(s) \right) \right]^{\gamma_{3}} - \frac{\overline{a}}{b} \operatorname{sign} \left( \dot{s}^{\frac{1}{\gamma_{2}}} + \beta_{1}^{\frac{1}{\gamma_{2}}} \sigma(s) \right)$$
(11)

式中饱和函数  $\sigma(x)$  定义为

$$\sigma(x) = \begin{cases} \varepsilon \operatorname{sign}(x) & (|x| > \varepsilon) \\ x & (|x| \le \varepsilon) \end{cases} \quad (\forall \varepsilon > 0)$$
(12)

以及

$$\begin{cases} \beta_1 > 1 \\ \beta_2 > \max(c_1, c_2) \end{cases} \tag{13}$$

$$c_1 = \frac{\gamma_2}{\underline{b}} \beta_1^{\frac{1}{\gamma_2}} \left( 1 + \beta_1 \right)^{2 - \frac{1}{\gamma_2}} \tag{14}$$

$$c_{2} = \frac{2^{\frac{-4\tau}{1+\tau}} \left(\frac{1-\tau}{\beta_{1}}\right)^{\frac{1-\tau}{1+\tau}} + 2^{-\tau} \beta_{1}^{\frac{1}{1+\tau}} + (1-\tau) \beta_{1}^{\frac{3-\tau^{2}}{1-\tau^{2}}}}{\frac{b}{-}}$$
(15)

则滑动变量。、。在有限时间内稳定。

## 2.2 BUCK 变换器的无抖振滑模控制器设计

设计二阶滑模控制器,首先要确定适当的滑模面函数 s(x)。设输出电压偏差为  $x_1 = u_C - U_{ref}$ ,  $U_{ref}$  为参考输出电压,结合式(5),对  $x_1$  求导得到电压偏差变化率  $x_2$ ,即

$$x_2 = \dot{x}_1 = -\frac{1}{CR}u_C + \frac{1}{C}\dot{i}_L \tag{16}$$

再对 $x_2$ 求导,得

$$\dot{x}_{2} = \frac{1}{C} \left( \frac{di_{L}}{dt} - \frac{1}{R} \frac{du_{C}}{dt} \right) = -\frac{1}{IC} x_{1} - \frac{1}{IC} x_{2} + \frac{U_{i}}{IC} \alpha - \frac{1}{IC} U_{ref}$$
(17)

设计滑模面函数  $s = x_1 + x_2$ ,则若能将 s 控制到零,则必然有  $x_1 = 0$ ,即  $u_C = U_{ref}$ 。

结合式(16)、(17),有
$$\dot{s} = x_2 + \dot{x}_2 = x_3 + \dot{x}_3 = x_4 + x_4 + x_5 = x_5 + x_5 + x_5 = x_5 =$$

$$-\frac{1}{LC}x_{1} + \left(1 - \frac{1}{RC}\right)x_{2} + \frac{U_{i}}{LC}\alpha - \frac{1}{LC}U_{ref} \quad (18)$$

对式(18)继续求导可得

$$\ddot{s} = \frac{1}{LC} \left( \frac{1}{RC} - 1 \right) x_1 + \left[ \frac{1}{RC} \left( \frac{1}{RC} - 1 \right) - \frac{1}{LC} \right] x_2 + \left( 1 - \frac{1}{RC} \right) \left( \frac{U_i}{LC} \alpha - \frac{U_{\text{ref}}}{LC} \right) + \frac{U_i}{LC} \dot{\alpha}$$
(19)

**�** 

$$a(t,x) = \frac{1}{LC} \left( \frac{1}{RC} - 1 \right) x_1 + \left[ \frac{1}{RC} \left( \frac{1}{RC} - 1 \right) - \frac{1}{LC} \right] x_2 +$$

$$\left(1 - \frac{1}{RC}\right) \left(\frac{U_i}{LC}\alpha - \frac{U_{\text{ref}}}{LC}\right) \tag{20}$$

$$b(t,x) = \frac{U_i}{LC} \tag{21}$$

则式(19)可以改写为式(8)的形式。

由式(20)、(21)及 $x_1$ 、 $x_2$ 的定义可知a(t,x)和b(t,x)中所有变量或参数都为有界量,因此a(t,x)、b(t,x)满足式(9)的常数限定条件。根据引理1可以设计控制器为

$$\dot{\alpha} = -\beta_2 \left[ \sigma \left( \dot{s}^{\frac{1}{\gamma_2}} + \beta_{1}^{\frac{1}{\gamma_2}} \sigma(s) \right) \right]^{\gamma_3} - \frac{\overline{a}}{b} \operatorname{sign} \left( \dot{s}^{\frac{1}{\gamma_2}} + \beta_{1}^{\frac{1}{\gamma_2}} \sigma(s) \right)$$
(22)

则实际控制器为

$$\alpha = -\beta_2 \int \left[ \sigma \left( \dot{s}^{\frac{1}{\gamma_2}} + \beta_1^{\frac{1}{\gamma_2}} \sigma(s) \right) \right]^{\gamma_3} dt - \int \frac{\overline{a}}{b} \operatorname{sign} \left( \dot{s}^{\frac{1}{\gamma_2}} + \beta_1^{\frac{1}{\gamma_2}} \sigma(s) \right) dt$$
 (23)

对控制器进行离散化处理:

根据前面 Buck 变换器的电路分析,采用欧拉后向差分法,用差商来近似代替导数,可以得到离散的电压偏差为  $e(k) = u_o(k) - U_{ref}$ 。则电压偏差率可以表示为

$$de(k) = \frac{e(k) - e(k-1)}{t_s}$$
 (24)

式中 t。——采样周期

对 de(k) 求导得

$$d(de(k)) = \frac{de(k) - de(k-1)}{t_s}$$
 (25)

则离散化的滑模面函数可表示为

$$\begin{cases} s(k) = e(k) + de(k) \\ ds(k) = de(k) + d(de(k)) \end{cases}$$
 (26)

综上,离散化的二阶滑模控制器为

$$\begin{cases}
d\alpha(k) = -\beta_{2} \left[ \sigma(ds(k)^{\frac{1}{\gamma_{2}}} + \beta_{1}^{\frac{1}{\gamma_{2}}} \sigma(s(k))) \right]^{\gamma_{3}} - \frac{\overline{a}}{b} \operatorname{sign}(ds(k)^{\frac{1}{\gamma_{2}}} + \beta_{1}^{\frac{1}{\gamma_{2}}} \sigma(s(k))) \\
\alpha(k) = \alpha(k-1) + d\alpha(k) t_{s}
\end{cases}$$
(27)

## 3 仿真及分析

为了验证设计的控制算法可行性,根据 Buck 变换器的数学模型和相关算法,在 Matlab 2014a 中的 Simulink 环境下进行仿真,并和传统 PID 控制算法对比研究。

设定输入电压为 18 V,期望输出电压为 12 V, 仿真采用离散模式,采样周期 0.01 ms。由条件式(12)~(15),仿真参数设定  $\varepsilon=1$ , $\tau=-2/7$ , $\gamma_1=1$ , $\gamma_2=5/7$ , $\gamma_3=3/7$ , $\beta_1=1$ .2, $\beta_2=5$ 。令比例系数  $k_p=5$ ,积分系数  $k_i=3$ .5,微分系数  $k_d=1$ 。

图 2 是输出电压在启动阶段的仿真波形。图中蓝色虚线表示 PID 控制器作用下的输出电压波形, 黑色实线表示二阶滑模控制器作用下的输出电压波形,用 SOSM 标记。相比 PID 控制器而言,二阶滑模

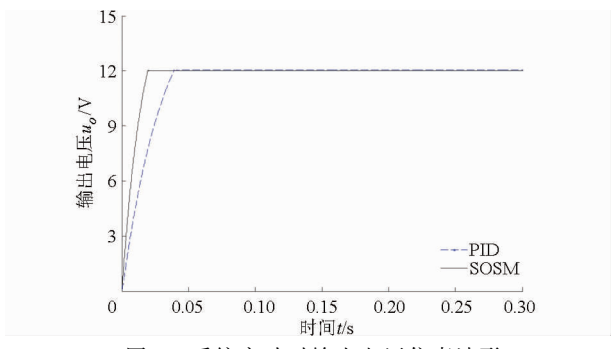


图 2 系统启动时输出电压仿真波形

Fig. 2 Simulation waveform of output voltage when system starts

控制器的调节时间较短。

为了验证二阶滑模控制具有较好的稳定性,设计了 2 种扰动,图 3 是负载电阻由 110 Ω 突变到 50 Ω时的输出电压仿真波形,图 4 是输入电压由 18 V变化到 24 V 时的输出电压仿真波形。由图 3 和图 4 的仿真结果可知,滑模控制器与 PID 控制相比,具有更强的抗扰动性能。

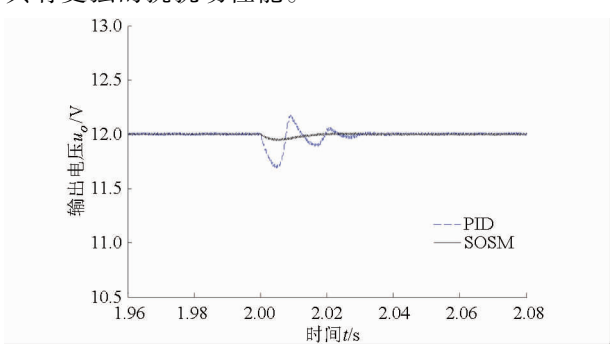


图 3 系统负载突变时输出电压仿真波形

Fig. 3 Simulation waveform of output voltage when load changes

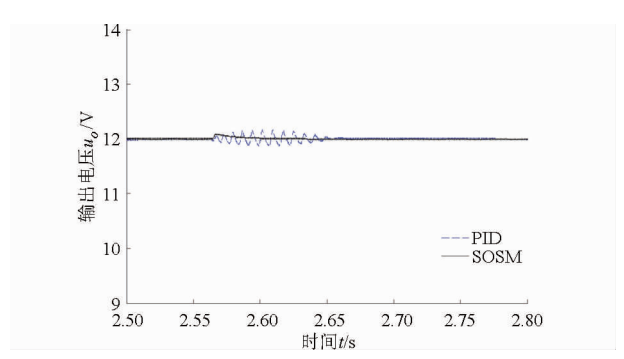


图 4 系统输入电压改变时输出电压仿真波形

Fig. 4 Simulation waveform of output voltage when inputting voltage changes

此外,参数  $\gamma_1$ 、 $\gamma_2$ 、 $\gamma_3$  值由取值在区间(-1/2, 0)的有理数  $\tau$  决定, $\tau$  对控制器的性能会产生影响。图 5 表示当负载变化时不同  $\tau$  值下滑模控制器对系统输出电压的影响。可知当  $\tau$  在有效区间中取值越小,二阶滑模控制器的非光滑性越强,抗扰动性能也越好,但过小也会使非连续性增强,恢复时间延长。

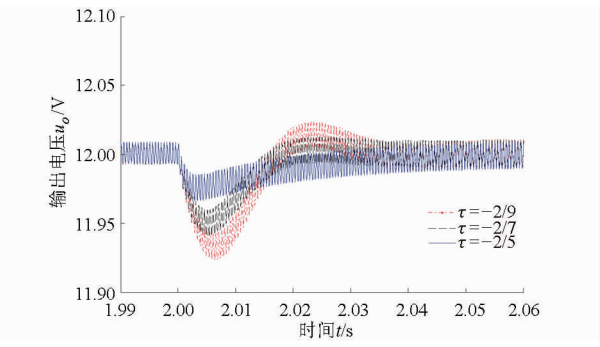


图 5 控制器参数 τ 取不同值时的输出电压仿真波形 Fig. 5 Simulation waveform of output voltage under controller with different τ

## 4 实验与结果分析

## 4.1 实验平台搭建

实验平台的底层电路主体部分是典型的 Buck 变换器电路。采用的控制开关管是美国 IR 公司的 NMOS 管 IRF630。Buck 电路的驱动方法主要有光 耦法、伏地法、变压器法、自举法。本文采用美国 IR 公司 IR2110 自举芯片设计驱动电路,利用 IR2110 的引脚 HIN 抬高门极电压, 使得 IRF630 满足开通 条件。与其他方法相比,自举法具有频率要求低、反 应灵敏、后续电路设计简单等优点;缺点是电路设计 成本高,并不适宜输入电压较高的应用场合。PWM 发生电路采用由 TI 德州仪器公司生产的 DC - DC 集成控制器芯片 TL494。此芯片可通过电阻  $R_T$ 、电 容  $C_{\mathrm{T}}$ 来调节频率,计算公式为 $f=1.1/(C_{\mathrm{T}}R_{\mathrm{T}})$ ,实验 取  $R_T = 51 \text{ k}\Omega$ ,  $C_T = 1000 \text{ pF}$ , 产生固定频率为 21.57 kHz的锯齿波。Feedback(FB)引脚与数据采 集卡输出引脚相连,根据 FB 输入引脚的电压,将数 据采集卡输出信号与锯齿波信号比较,输出频率不 变,占空比不同的 PWM 方波。实验平台采用阿尔 泰公司 PCIE9554 型数据采集卡,通过负载电阻并联 2个高精度电阻实现分压采集输出电压信号。负载 电阻经过分压电压采集电压,从而保证输出电压在 数据采集卡电压采集范围内。图 6 是实验平台实物 图,硬件电路图如图7所示。

图 8 为 Buck 变换器定频实验平台的总体设计思路:实时采集 Buck 电路的输出电压  $u_o(t)$ ,经过 LabVIEW 开发板自带模块进行 A/D 转换,在经过数据处理得到离散电压偏差 e(k);基于 LabVIEW 开发平台,利用第 2 节所给结论设计滑模控制器或 PID 控制器;控制器根据离散电压偏差得到控制量  $\alpha(k)$ ;底层硬件电路依据所给控制量  $\alpha$  得到频率不变、占空比变化的 PWM 方波,最终实现控制 Buck 变换器的目的。

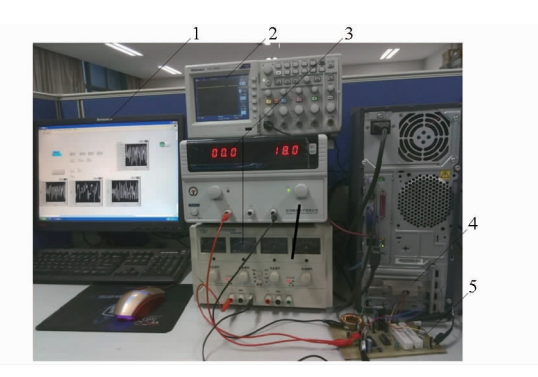


图 6 Buck 变换器实验平台实物图

Fig. 6 Figure of experimental platform for Buck converter 1. LabVIEW 软件 2. 示波器 3. 直流电源 4. 数据采集卡 5. 降压变换器

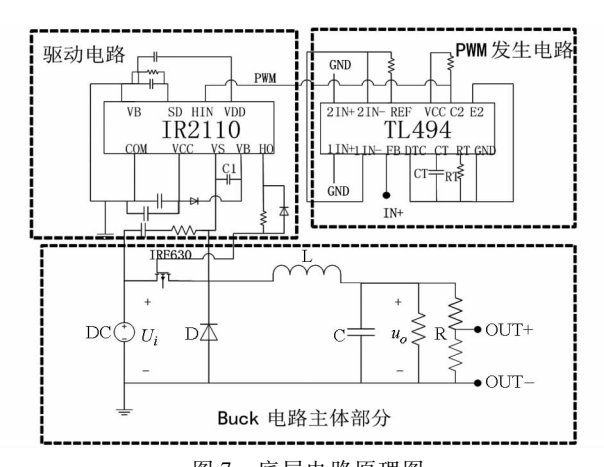


图 7 底层电路原理图

Fig. 7 Schematic of hardware

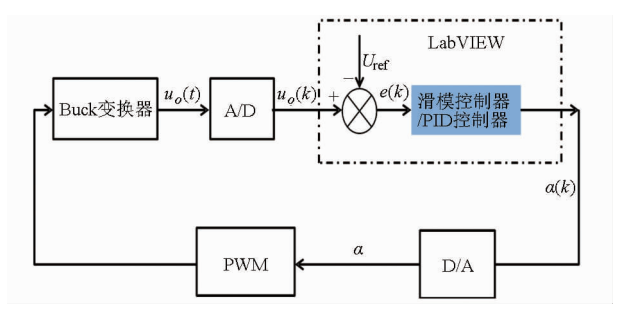


图 8 Buck 变换器实验平台总体设计框图

Fig. 8 Block diagram of Buck converter experimental platform

#### 4.2 实验结果

设定 Buck 电路中电感 L 为 330  $\mu$ H, 电容 C 为 1 000 pF, 负载电阻 R 为 110  $\Omega$ ,  $k_p$  = 0. 2,  $k_i$  = 2,  $k_d$  = 1, 采样周期  $t_s$  = 0. 001 s, 再令  $\beta_1$  = 1. 2,  $\varepsilon$  = 1,  $\tau$  = -2/5。经计算有:  $\beta_2$  = 10,  $\gamma_2$  = 3/5,  $\gamma_3$  = 1/5,  $\overline{a}/\overline{b}$  = 1. 1, 根据式(27), 有

$$\begin{cases} d\alpha(k) = -10 \left[ \sigma(ds(k)^{\frac{5}{3}} + \beta_1^{\frac{5}{3}} \sigma(s(k))) \right]^{\frac{1}{5}} - \\ 1. 1 \operatorname{sign}(ds(k)^{\frac{5}{3}} + \beta_1^{\frac{5}{3}} \sigma(s(k))) \\ \alpha(k) = \alpha(k-1) + 0. 001 d\alpha(k) \end{cases}$$
(28)

在二阶滑模控制器和 PID 控制器的作用下,得

到 Buck 变换器输出电压的实验结果如图 9 所示。 其中,图 9a 是 Buck 电路分别在 PID 和二阶滑模控制器作用下启动时的输出电压波形。2 种控制器的控制目标为输出电压为 12 V。通过对比可以看到,在稳态误差相差不大的条件下,二阶滑模控制器的启动时间比 PID 控制器的启动时间短。图 9b 反映了在 2 种控制器的控制下负载由 110 Ω 突变到 50 Ω 时的输出电压波形。图 9c 则反映了在 2 种控制器的控制下输入电压由 18 V 变化到 24 V 时的输出电压波形。PID 控制器有明显的瞬态电压变化,而二阶滑模控制器的输出电压变化相对很小。由此可见,相对于 PID 控制算法来说,二阶滑模控制算法的抗扰动性能较好。

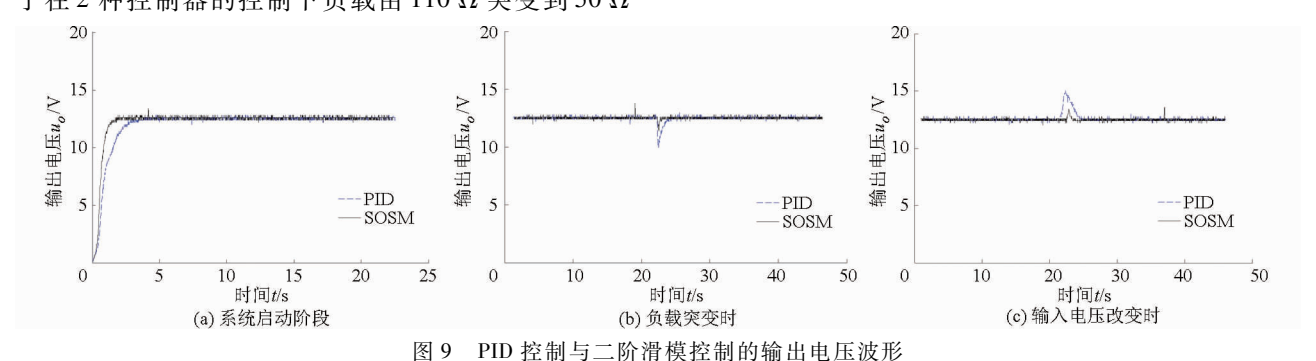


Fig. 9 Waveform of output voltage with PID controller and second order slide mode controller

## 5 结束语

针对 Buck 变换器,首先建立数学模型,通过选取适当的滑动变量,使得 Buck 变换器的跟踪控制问题转换为二阶滑模控制设计问题。其次,利用二阶滑模控制理论设计了无抖振滑模控制算法,并对最终算法进行离散化处理。在保证闭环系统不降低鲁棒性的前提下,消除了传统一阶滑模中普遍存在的

抖振问题,理论上实现了有限时间跟踪。在控制方式上,采用 PWM 定频控制方式进行数字化实现。通过仿真与实验实现了与 PID 控制算法的对比。结果表明,相比传统 PID 控制器,滑模控制算法使系统的启动调节时间缩短了近一倍;在突变负载和输入电压改变时,滑模控制器使得输出电压变化幅度明显减小;证明了二阶滑模控制算法相比于传统的PID 控制算法具有鲁棒性强,动态响应快的优点。

#### 参考文献

- 1 CHEN Y, NAN Y R, KONG Q G. A loss-adaptive self-oscillating Buck converter for LED driving [J]. IEEE Transactions on Power Electronics, 2012, 27 (10): 4321-4328.
- 2 李文琢,房建成,李海涛.基于 Buck 变换器调压的无刷直流电机功率变换器单管开路故障诊断[J].中国电机工程学报, 2013, 33(15):124-132.
  - LI Wenzhuo, FANG Jiancheng, LI Haitao. Single switch open-circuit fault diagnosis in brushless DC motor drivers with Buck converters [J]. Proceedings of the CSEE, 2013, 33(15):124-132. (in Chinese)
- 3 SAHIN M E, OKUMUS H I, AYDEMIR M T. Implementation of an electrolysis system with DC/DC synchronous buck converter [J]. International Journal of Hydrogen Energy, 2014, 39(13):6802-6812.
- 4 马红波,冯全源. Buck 型开关变换器最优 PID 控制器设计[J]. 电机与控制学报,2008,12(6):639-643.

  MA Hongbo,FENG Quanyuan. Optimized PID controller design for Buck DC-DC switching converters[J]. Electric Machines and Control,2008,12(6):639-643. (in Chinese)
- 5 ZHU D R, LIU L, LIU C X. Optimal fractional-order PID control of chaos in the fractional-order Buck converter [C] // Proceedings of IEEE Conference on Industrial Electronics and Applications, 2014;787 791.
- 6 SAHIN M E, OKUMUS H I. Fuzzy logic controlled parallel connected synchronous Buck DC DC converter for water electrolysis [J]. IEEE Journal of Research, 2013, 59(3): 280 288.
- [J]. IEEE Journal of Research, 2013, 59(3): 280 288.

  7 BETIN F, SIVERT A, YAZIDI A, et al. Determination of scaling factors for fuzzy logic control using the sliding-mode approach:
- application to control of a DC machine drive[J]. IEEE Transactions on Industrial Electronics, 2007, 54(1): 296-309.

  8 PIAZZA M C D, PUCCI M, RAGUSA A, et al. Analytical versus neural real-time simulation of a photovoltaic generator based on
- a DC DC converter[J]. IEEE Transactions on Industry Applications, 2010, 46(6): 2501 2510.
- 9 LIN B R, HOFT R G. Neural networks and fuzzy logic in power electronics[J]. Control Engineering Practice, 1994, 2(1): 113-121.

  10 MA D, KI W H, TSUI C Y. An integrated one-cycle control Buck converter with adaptive output and dual loops for output error
- correction[J]. IEEE Journal of Solid-State Circuits, 2004, 39(1):140 149.

  11 陈龙, 施德华, 汪若尘,等. 馈能悬架自适应离线神经网络逆控制[J]. 农业机械学报, 2015, 46(2):281 287.
- CHEN Long, SHI Dehua, WANG Ruochen, et al. Adaptive off-line neural network inverse control for energy harvesting suspension

- [J]. Transactions of the Chinese Society for Agricultural Machinery, 2015, 46(2):281 287. (in Chinese)
- 12 TAN S C, LAI Y M, TSE C K, et al. A fixed-frequency pulsewidth modulation based quasi-sliding-mode controller for Buck converters [J]. IEEE Transactions on Power Electronics, 2005, 20(6): 1379 1392.
- 13 TAN S C, LAI Y M, CHEUNG M K H, et al. On the practical design of a sliding mode voltage controlled Buck converter [J]. IEEE Transactions on Power Electronics, 2005, 20(2):425-437.
- 14 HE Y, LUO F L. Design and analysis of adaptive sliding-mode-like controller for DC DC converters [J]. IEEE Proceedings-Electric Power Applications, 2006, 153(3);401 – 410.
- 15 WANG P, SHEN W, ZHANG K. A Buck converter based on fuzzy control [J]. Power Electronics, 2006, 40(4): 68-69.
- 16 KOMURCUGIL H. Adaptive terminal sliding-mode control strategy for DC DC Buck converters [J]. ISA Transactions, 2012, 51(6): 673 681.
- 17 倪雨,许建平,于海坤,等. 控制受限滑模控制 Buck 变换器设计[J]. 中国电机工程学报,2010,30(18):26-32. NI Yu, XU Jianping, YU Haikun, et al. Design of sliding mode control Buck converter with bounded input[J]. Proceedings of the CSEE, 2010,30(18): 26-32. (in Chinese)
- 18 凌睿, 柴毅. 悬臂式掘进机器人截割臂建模与二阶滑模控制器设计[J]. 控制理论与应用,2010, 27(8):1037 1046. LING Rui, CHAI Yi. Dynamic modeling and design of second-order sliding-mode controller for arm of roadheader robot[J]. Control Theory & Applications, 2010, 27(8): 1037 1046. (in Chinese)
- 19 凌睿, 柴毅. 永磁直线同步电机多变量二阶滑模控制[J]. 中国电机工程学报, 2009, 29(36):60-66.
  LING Rui, CHAI Yi. Dynamic modeling and design of second-order sliding-mode controller for arm of roadheader robot[J].
  Proceedings of the CSEE, 2009, 29(36): 60-66. (in Chinese)
- 20 丁世宏, 王加典, 黄振跃, 等. Buck 变换器扰动补偿控制算法及实现[J]. 农业工程学报, 2015, 31(8):214-220. DING Shihong, WANG Jiadian, HUANG Zhenyue, et al. Disturbance compensation controller algorithm and implementation for Buck converters[J]. Transactions of the CSAE, 2015, 31(8): 214-220. (in Chinese)
- 21 DING S H, LI S H, ZHENG W X. New approach to second-order sliding mode control design [J]. IET Control Theory & Applications, 2013, 7(18): 2188 2196.

## (上接第 400 页)

- 9 MENG Fei, SHI Peng, KARIMI Hamid Reza, et al. Optimal design of an electro-hydraulic valve for heavy-duty vehicle clutch actuator with certain constraints [J]. Mechanical Systems and Signal Processing, 2016, 68 69: 491 503.
- ANTTI Ylinen, HEIKKI Marjamaki, JARI Makinen. A hydraulic cylinder model for multibody simulations [J]. Computers and Structures, 2014,138:62 72.
- 11 王松峰,赵虎,权龙.新型比例方向阀动态特性仿真研究[J]. 液压气动与密封,2013,33(6):34-39. WANG Songfeng, ZHAO Hu, QUAN Long. Simulation of the dynamic characteristics for a new type proportional direction valve [J]. Hydraulics Pneumatics & Seals, 2013,33(6):34-39. (in Chinese)
- 12 YANG Lijie, NIE Songlin, YIN Shuai, et al. Numerical and experimental investigation on torque characteristics of seawater hydraulic axial piston motor for underwater tool system [J]. Ocean Engineering, 2015, 104:168 184.
- 13 苗中华,李振华,王旭永,等. 中空液压马达系统建模与摩擦动态补偿算法研究[J]. 农业机械学报,2013,44(12):314-320.
  - MIAO Zhonghua, LI Zhenhua, WANG Xuyong, et al. Modeling and friction dynamic compensation for ultra-large-diametered hollow hydraulic motor servo system [J]. Transactions of the Chinese Society for Agricultural Machinery, 2013,44(12):314 320. (in Chinese)
- 14 杨阳,权龙,杨敬. 轴向柱塞泵非止点配流窗口过渡区压力脉动特性分析[J]. 机械工程学报,2011,47(24):128 134. YANG Yang, QUAN Long, YANG Jing. Pressure pulsation characteristic analysis of the non-dead spots transtion zone between flow distribution windows of axial piston pump [J]. Journal of Mechanical Engineering, 2011,47(24):128 134. (in Chinese)
- 15 顾临怡,王庆丰,路甬祥. 液压驱动的大惯性负载加减速特性研究[J]. 机械工程学报, 2002,38(10): 46-49. GU Linyi, WANG Qingfeng, LU Yongxiang. Research on acceleration and deceleration characteristic for high inertia loads driven by hydraulic [J]. Chinese Journal of Mechanical Engineering, 2002, 38(10): 46-49. (in Chinese)